

# Προσομοίωση και Μοντελοποίηση Δυναμικών Συστημάτων

## Δεύτερη εργασία

Θεόδωρος Κατζάλης

AEM: 9282

katzalis@auth.gr

24/05/2021

## Περιεχόμενα

On line εκτίμηση άγνωστων παραμέτρων	2
Θέμα 1	2
Μαθηματική ανάλυση . . . . .	2
Διαγράμματα . . . . .	4
Matlab . . . . .	5
Θέμα 2	7
Μαθηματική ανάλυση . . . . .	7
Διαγράμματα . . . . .	8
Matlab . . . . .	12
Θέμα 3	16
Μαθηματική ανάλυση . . . . .	16
Διαγράμματα . . . . .	16
Matlab . . . . .	18
Matlab	21

# On line εκτίμηση άγνωστων παραμέτρων

Σκοπός της εργαστηριακής άσκησης είναι η on line εκτίμηση άγνωστων παραμέτρων με τη μέθοδο της κλίσης και τη μέθοδο Lyapunov. Θεωρήστε το σύστημα:

$$\dot{x} = -\alpha x + bu, \quad x(0) = 0 \quad (1)$$

Όπου  $x$  είναι η κατάσταση του συστήματος,  $u = 5\sin(3t)$  είναι η είσοδος και  $a = 2$ ,  $b = 1$  σταθερές παράμετροι τις οποίες θέλουμε να εκτιμήσουμε on line.

## Θέμα 1

Σχεδιάστε έναν εκτιμητή πραγματικού χρόνου των άγνωστων παραμέτρων βασισμένο στη μέθοδο κλίσης και προσομοιώστε τη λειτουργία του. Δημιουργήστε τις γραφικές παραστάσεις των  $x$ ,  $\hat{x}$ , καθώς και τις εκτιμήσεις των  $\hat{a}$ ,  $\hat{b}$  των  $a$ ,  $b$ .

## Μαθηματική ανάλυση

Η μέθοδος κλίσης εφαρμόζεται σε γραμμικά παραμετροποιημένο σύστημα, οπότε από την (1) έχουμε:

$$\dot{x} = -\alpha x + bu \quad (2)$$

$$\dot{x} = \pm\alpha_m - \alpha x + bu \quad (3)$$

$$\dot{x} + \alpha_m = (\alpha_m - \alpha)x + bu \quad (4)$$

$$sx + \alpha_m x = (\alpha_m - a)x + bu \quad (5)$$

$$x(s + \alpha_m) = (\alpha_m - a)x + bu \quad (6)$$

$$x = \frac{1}{s + \alpha_m} [(\alpha_m - \alpha)x + bu] \quad (7)$$

$$(8)$$

Στην ουσία για να γραμμικοποιήσουμε το σύστημα, χρησιμοποιήσαμε ένα ευσταθές φίλτρο  $\Lambda(s) = s + \alpha_m$ , όπου  $\alpha_m > 0$ . Οπότε έχουμε:

$$\theta^* = [\alpha_m - \alpha \quad b]^T \quad (9)$$

$$\phi = \left[ \left( \frac{1}{s + \alpha_m} \right) x \quad \left( \frac{1}{s + \alpha_m} \right) u \right]^T \quad (10)$$

$$x = \theta^{*T} \phi \quad (11)$$

Ορίζουμε σύστημα αναγνώρισης:

$$\hat{x} = \hat{\theta}^T \phi \quad (12)$$

Για να βρούμε την βέλτιστη επιλογή παραμέτρων ορίζουμε ένα μέτρο αξιολόγησης (σφάλμα) και μια συνάρτηση κόστους που θέλουμε να ελαχιστοποιήσουμε. Πιο συγκεκριμένα έχουμε:

$$e = x - \hat{x} = x - \theta^T \phi \quad (13)$$

$$K(\hat{\theta}) = \frac{e^2}{2} = \frac{(x - \hat{\theta}^T \phi)^2}{2} \quad (14)$$

Σύμφωνα με τον ορισμό της μεθόδου της κλίσης έχουμε:

$$\dot{\hat{\theta}} = -\gamma \nabla K \quad (15)$$

$$\nabla K = -(x - \hat{\theta}^T \phi) \phi = -e \phi \quad (16)$$

όπου  $\gamma$  το βήμα του αλγορίθμου  $\gamma > 0$ . Απο (15) και (16):

$$\dot{\hat{\theta}} = \gamma e \phi, \quad \gamma > 0 \quad (17)$$

Απο (10) και (17) τελικά έχουμε το εξής σύστημα διαφορικών εξισώσεων το οποίο καλούμαστε να λύσουμε για να εκτιμήσουμε τις παραμέτρους:

$$\dot{\phi}_1 = -\alpha_m \phi_1 + x, \quad \phi_1(0) = 0 \quad (18)$$

$$\dot{\phi}_2 = -\alpha_m \phi_2 + u, \quad \phi_2(0) = 0 \quad (19)$$

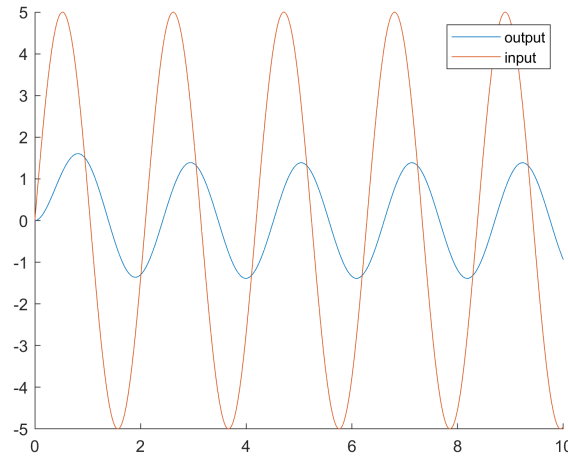
$$\dot{\hat{\theta}}_1 = \gamma e \phi_1, \quad \hat{\theta}_1(0) = 0 \quad (20)$$

$$\dot{\hat{\theta}}_2 = \gamma e \phi_2, \quad \hat{\theta}_2(0) = 0 \quad (21)$$

$$e = x - \hat{x} \quad (22)$$

όπου  $u$  και  $x$  μετρήσιμα μεγέθη. Η έξοδος του συστήματος είναι γνωστή λύνοντας την απλή διαφορική εξίσωση της σχέσης (1).

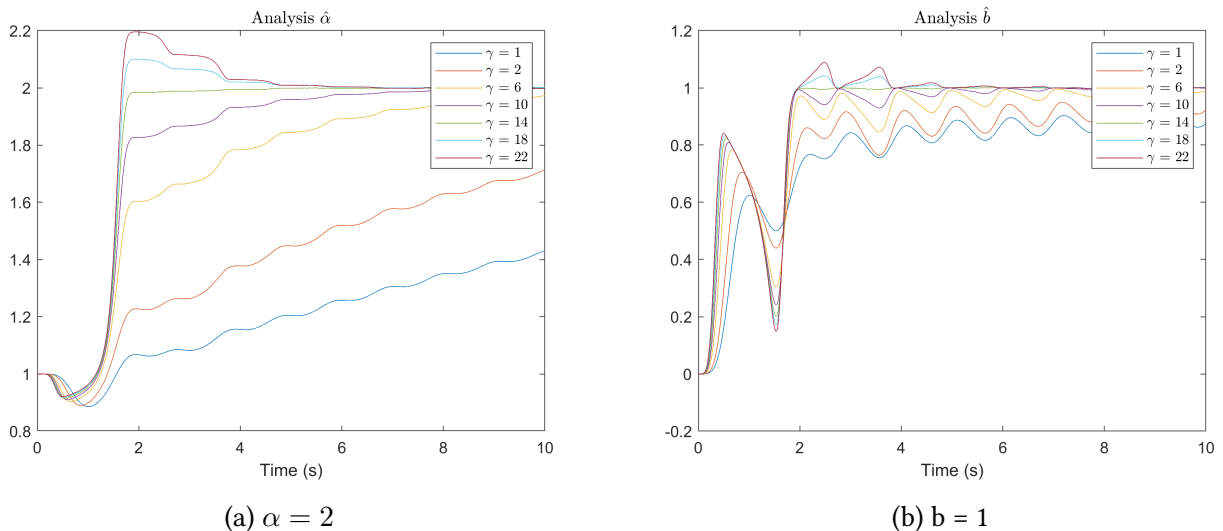
## Διαγράμματα



Εικόνα 1: Συσχέτιση εισόδου και εξόδου ( $t = 0 : 0.001 : 10$ )

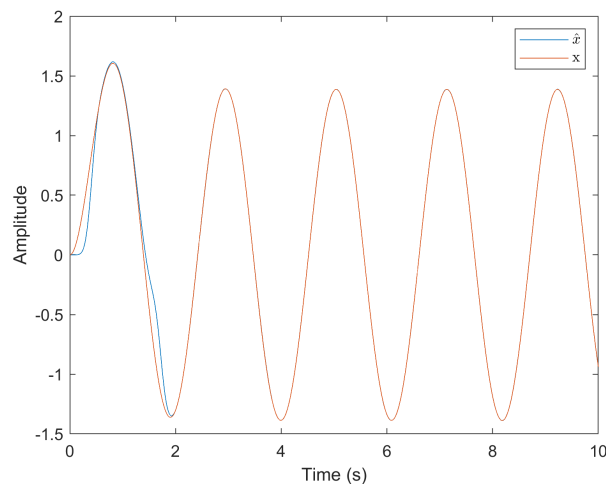
Όπως φαίνεται και από τις εξισώσεις (18) - (22), τα μεγέθη που μπορούν να επηρεάσουν την επίλυση του προβλήματος και μπορούμε να τα ρυθμίσουμε (**tuning**), είναι το  $\gamma$  και το  $\alpha_m$ , δηλαδή το βήμα και ο πόλος του φίλτρου. Βέβαια και οι αρχικές συνθήκες του  $\hat{\theta}$  και του  $\hat{\phi}$  επηρεάζουν την λύση του προβλήματος. Για χάριν ευκολίας, θα προτιμήσουμε την τυπική επιλογή των μηδενικών αρχικών συνθηκών.

Σχετικά με το  $\alpha_m$ , αξίζει να σημειωθεί ότι λόγω της σχέσης  $\theta^* = [\alpha_m - a \ b]^T$  και εξαιτίας των μηδενικών αρχικών συνθηκών του  $\hat{\theta}$ , η εκτίμηση του  $\alpha$  θα ξεκινάει πάντα από την τιμή  $\alpha_m$ . Με άλλα λόγια, το  $\hat{\theta}$  θα προσπαθεί να πλησιάζει το  $\theta^*$  και όσο πιο μεγάλη είναι η τιμή του  $\alpha_m$ , τόσο πιο μεγάλο θα είναι το χρονικό διάστημα της προσέγγισης της πραγματικής τιμής, συμπεριλαμβάνοντας ότι το  $\hat{\theta}$  έχει μηδενικές αρχικές συνθήκες. Οπότε γνωρίζοντας ότι  $\alpha = 2$ , για  $\alpha_m = 2$  θα έχουμε  $\theta_1^* = 0$  και επειδή όπως είπαμε  $\hat{\theta}_1 = 0$ , συμπεραίνουμε ότι  $\alpha_m = 2$  είναι η καλύτερη επιλογή. Φυσικά, σε πραγματικό πρόβλημα δεν γνωρίζουμε τις παραμέτρους, οπότε δεν έχει νόημα η προηγούμενη ανάλυση. Θα έπρεπε με trial and error, να βρίσκαμε για ποια τιμή του πόλου συγκλίνει πιο γρήγορα η εκτίμηση. Στην δικιά μας ανάλυση, χρησιμοποιήσαμε  $\alpha_m = 1$ . Βέβαια αξίζει να σημειωθεί ότι για λόγους ευστάθειας θα πρέπει  $\alpha_m > 0$ . Συνεπώς, θα δώσουμε βαρύτητα κυρίως στην επιλογή του  $\gamma$  και έχουμε την ακόλουθη παραμετρική ανάλυση:



Εικόνα 2: Παραμετρική ανάλυση των εκτιμήσεων

Μπορούμε να παρατηρήσουμε ότι η καλύτερη τιμή, σχετικά με το πόσο γρήγορα σταθεροποιείται η εκτίμηση, είναι  $\gamma = 14$ . Για αυτήν την τιμή έχουμε επίσης το ακόλουθο διάγραμμα:



Εικόνα 3: Σύγκριση εκτίμησης και πραγματικής εξόδου ( $t = 0 : 0.001 : 10$ )

Από το παραπάνω διάγραμμα παρατηρούμε ότι στην αρχή έχουμε μια μικρή απόκλιση μέχρι να σταθεροποιηθούν οι εκτιμήσεις την χρονική στιγμή  $t = 2$ .

Στη συνέχεια παραθέτουμε τον κώδικα Matlab για όλα τα παραπάνω.

## Matlab

### simulation.m

```
1 %% SISO
2
3 clc;
4 clear;
5 close all;
6
7 % the parameters I want to estimate
8 a = 2; b = 1;
9
10 % input
11 u = @(t) 5*sin(3*t);
12
13 % output
14 start = 0; step = 0.001; finish = 10;
15 t = start:step:finish;
16 dx = @(t,x) -a*x + b*u(t);
17 [t, x] = ode45(dx,t,0);
18
19 % convert vector to function of time
20 x = @(t) x(round((t - start)/step + 1));
21
22 % PLOT
23 figure
24 hold on
25 tPlot = 0:0.01:min(10, finish);
26 plot(tPlot, x(tPlot))
27 plot(tPlot, u(tPlot))
28 xlabel('Time (s)'), ylabel('Amplitude'), legend('output', 'input')
```

```

29 print('in_out','-dpng','-r300')
30
31 % GRADIENT DESCENT
32
33 % the root of the stable filter
34 eig = -1;
35
36 gammaRange = [1 2:4:24];
37 xHat = zeros(numel(t),numel(gammaRange));
38 aHat = zeros(numel(t),numel(gammaRange));
39 bHat = zeros(numel(t),numel(gammaRange));
40 counter = 1;
41 for i=gammaRange
42     % learning rate
43     gamma = i;
44
45     [phi,aHatPerGamma,bHatPerGamma] = gradientDescent(x,u,t,eig,gamma);
46     phi1 = phi(:,1); phi2 = phi(:,2);
47
48     % convert vectors to function of time
49     theta1 = @(t) -eig -aHatPerGamma(round((t - start)/step + 1));
50     theta2 = @(t) bHatPerGamma(round((t - start)/step + 1));
51     phi1 = @(t) phi1(round((t - start)/step + 1));
52     phi2 = @(t) phi2(round((t - start)/step + 1));
53
54     % estimate output
55     xHatPerGamma = @(t) theta1(t).*phi1(t) + theta2(t).*phi2(t);
56
57     xHat(:,counter) = xHatPerGamma(t);
58     aHat(:,counter) = aHatPerGamma;
59     bHat(:,counter) = bHatPerGamma;
60
61     legendInfo{counter} = ['gamma = ' num2str(i)];
62     counter = counter + 1;
63 end
64
65 % gamma = 14, index = 5, best choice
66 figure
67 plot(t,xHat(:,5),t,x(t)),legend('estimation','real')
68 xlabel('Time (s)'),ylabel('Amplitude')
69 print('out_est','-dpng','-r300')
70
71 % plot
72 figure,plot(t,aHat),legend(legendInfo),xlabel('Time (s)')
73 title('Analysis estimation a')
74 print('a_param','-dpng','-r300')
75 figure,plot(t,bHat),legend(legendInfo),xlabel('Time (s)')
76 title('Analysis estimation b')
77 print('b_param','-dpng','-r300')

```

### gradientDescent.m

```

1 function [phi,aHat,bHat] = gradientDescent(x,u,t,eig,gamma)
2 [t, y] = ode45(@(t,y)diffSystem(t,y,u,x,gamma,eig),t,[0 0 0 0]);
3 phi = [y(:,1) y(:,2)];
4 aHat = -eig -y(:,3);
5 bHat = y(:,4);
6 end
7
8 function dy = diffSystem(t,y,u,x,gamma,eig)
9 phi1 = y(1); phi2 = y(2); theta(1) = y(3); theta(2) = y(4);

```

```

10
11 % thetaDot = gamma*error*phi
12 dPhi1 = eig*phi1 + x(t);
13 dPhi2 = eig*phi2 + u(t);
14 error = x(t) - theta(1)*phi1 - theta(2)*phi2;
15 dtheta(1) = gamma*error*phi1;
16 dtheta(2) = gamma*error*phi2;
17
18 dy = [dPhi1; dPhi2; dtheta(1); dtheta(2)];
19 end

```

## Θέμα 2

Για το (1) να σχεδιαστεί εκτιμητής πραγματικού χρόνου των άγνωστων παραμέτρων βασισμένο στη μέθοδο κλίσης και προσομοιώστε τη λειτουργία του. Δημιουργήστε τις γραφικές παραστάσεις των  $x, \hat{x}$ , καθώς και τις εκτιμήσεις  $\hat{a}, \hat{b}$  των  $a, b$ .

## Μαθηματική ανάλυση

Η μέθοδος **Lyapunov** εφαρμόζεται σε συστήματα τα οποία περιγράφονται από τις εξισώσεις κατάστασης του συστήματος, χωρίς να υπάρχει ανάγκη γραμμικοποίησης όπως συμβαίνει στην μέθοδο κλίσης που είδαμε προηγουμένως. Ακόμη ανάλογα το σύστημα αναγνώρισης που χρησιμοποιούμε για να εκτιμήσουμε τις παραμέτρους, υπάρχουν δύο κατηγορίες: η **παράλληλη** (Π) και η **μικτή** (Μ).

Συστήματα αναγνώρισης:

$$(Π) : \quad \dot{\hat{x}} = -\hat{\theta}_1 \hat{x} + \hat{\theta}_2, \quad \hat{x}(0) = \hat{x}_o \quad (1)$$

$$(Μ) : \quad \dot{\hat{x}} = -\hat{\theta}_1 x + \hat{\theta}_2 u + \theta_m (x - \hat{x}) \quad \hat{x}(0) = \hat{x}_o \quad (2)$$

Στη συνέχεια θα χρησιμοποιήσουμε για την μαθηματική μας ανάλυση το σύστημα αναγνώρισης της μικτής κατηγορίας. Αρχικά επιλέγουμε υποψήφια συνάρτηση **Lyapunov**, μέσω της οποίας ο στόχος μας είναι να βρούμε τις διαφορικές εξισώσεις για την σχεδίαση μας και έχουμε:

$$\dot{V} = e\dot{e} + \frac{1}{\gamma_1} \tilde{\theta}_1 \dot{\hat{\theta}}_1 + \frac{1}{\gamma_2} \tilde{\theta}_2 \dot{\hat{\theta}}_2 \quad (3)$$

$$= \underbrace{-\theta_m e^2}_1 + \underbrace{\tilde{\theta}_1 e x}_2 - \underbrace{\tilde{\theta}_2 e u}_3 + \underbrace{\frac{1}{\gamma_1} \tilde{\theta}_1 \dot{\hat{\theta}}_1}_4 + \underbrace{\frac{1}{\gamma_2} \tilde{\theta}_2 \dot{\hat{\theta}}_2}_5 \quad (4)$$

όπου  $\theta_m > 0$  (δικιά μας επιλογή) και  $e = x - \hat{x}$ . Παρατηρούμε ότι μόνο ο πρώτος όρος της σχέσης (4) έχει γνωστό πρόσημο. Έτσι σχεδιάζω το σύστημα μου εξισώνοντας τον δεύτερο και τον τρίτο όρο, με τον τέταρτο και τον πέμπτο αντίστοιχα για να διώξω τους όρους με αμφίβολο πρόσημο. Έτσι προκύπτουν οι ακόλουθες διαφορικές εξισώσεις για την σχεδίαση μας:

$$\dot{\hat{\theta}}_1 = -\gamma_1 e x, \quad \gamma_1 > 0 \quad (5)$$

$$\dot{\hat{\theta}}_2 = +\gamma_2 e u, \quad \gamma_2 > 0 \quad (6)$$

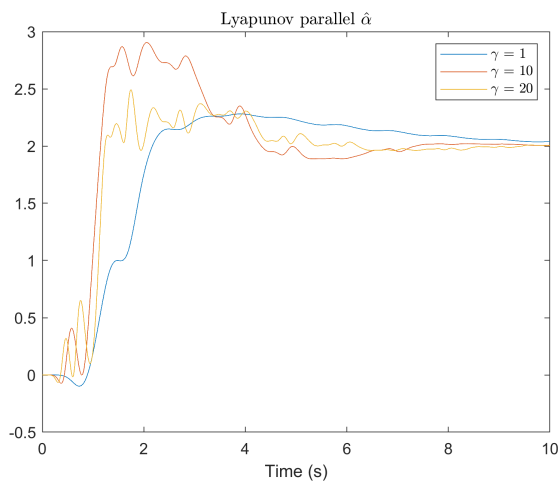
Με παρόμοιο τρόπο προκύπτει ότι για το σύστημα αναγνώρισης (Π):

$$\dot{\theta}_1 = -\gamma_1 e \hat{x} \quad (7)$$

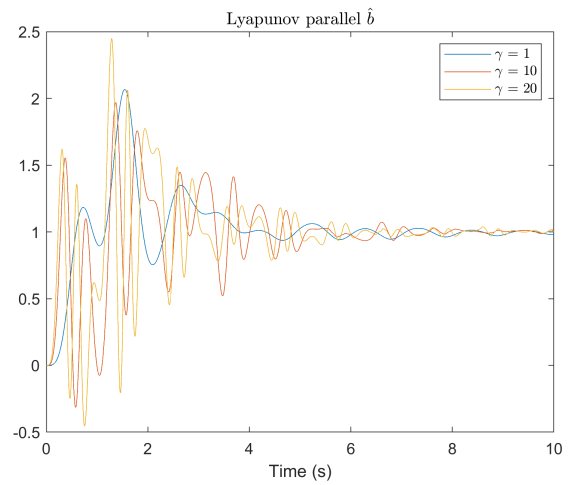
$$\dot{\theta}_2 = +\gamma_2 e u \quad (8)$$

## Διαγράμματα

Απο την προηγούμενη μαθηματική ανάλυση καταλαβαίνουμε ότι οι παράμετροι με τους οποίους μπορούμε να πειραματιστούμε για να έχουμε καλύτερα αποτελέσματα είναι οι  $\theta_m$ ,  $\gamma_1$ ,  $\gamma_2$ . Έτσι λοιπόν με trial and error, δημιουργήσαμε κάποιες παραμετρικές αναλύσεις. Για λόγους ευκολίας θεωρήσαμε  $\gamma_1 = \gamma_2$  και  $\theta_m = 1$ .

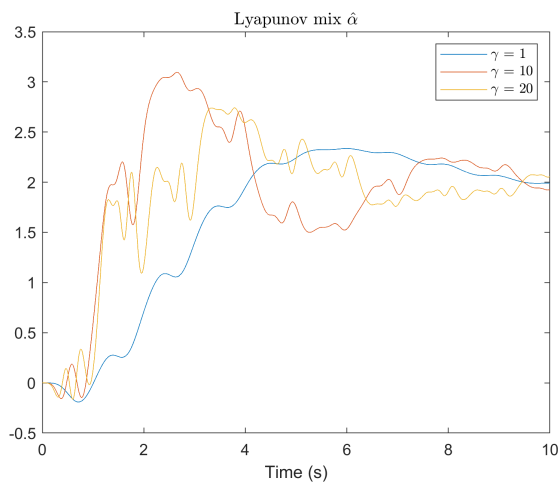


(a)  $\alpha = 2$

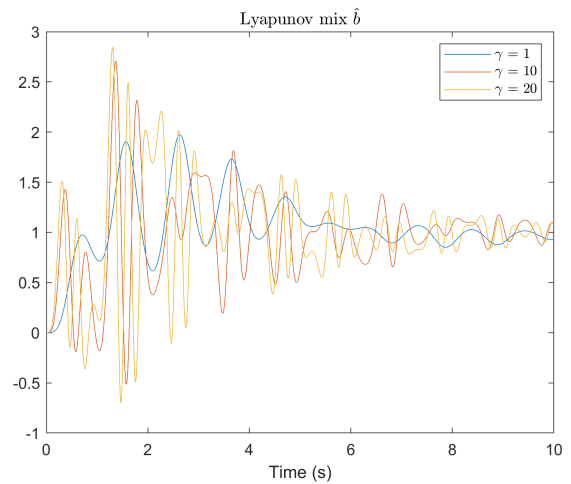


(b)  $b = 1$

Εικόνα 4: Παραμετρική ανάλυση των εκτιμήσεων ως προς  $\gamma$ , Lyapunov παράλληλη μέθοδος



(a)  $\alpha = 2$



(b)  $b = 1$

Εικόνα 5: Παραμετρική ανάλυση των εκτιμήσεων ως προς  $\gamma$ , Lyapunov μικτή μέθοδος

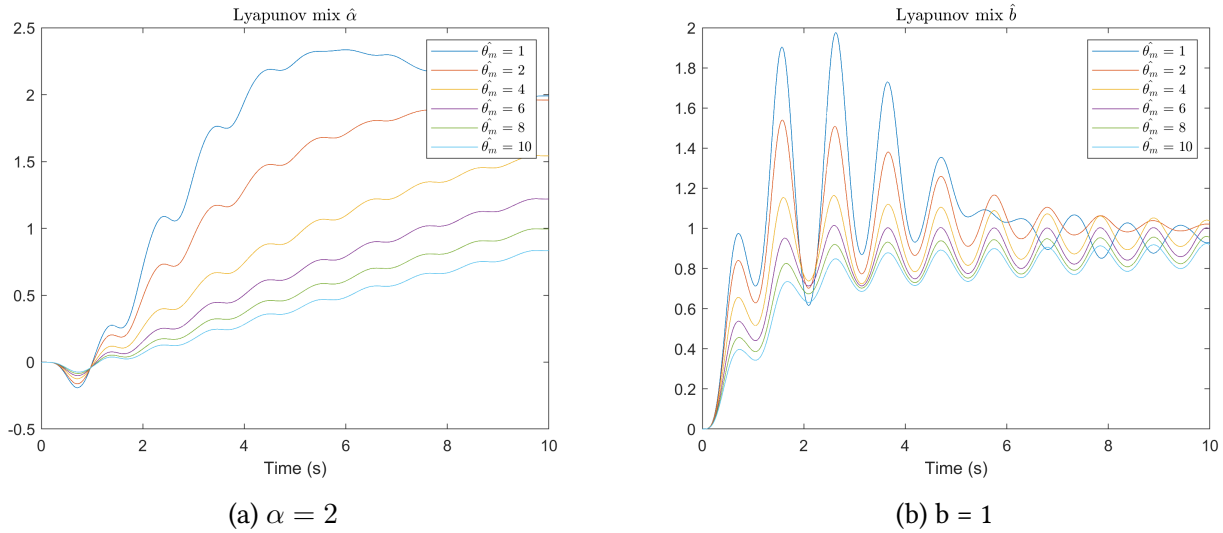
Παρατηρώντας τα διαγράμματα, σε αντίθεση με το Θέμα 1, δεν μπορούμε να διακρίνουμε μια ξεκάθαρη επίδραση των συντελεστών  $\gamma$  όσον αφορά την ταχύτητα με την οποία προσεγγίζουν την πραγματική τιμή. Ωστόσο μπορούμε να εντοπίσουμε έντονες ταλαντώσεις καθώς αυξάνεται το  $\gamma$  και



στις εκτιμήσεις του  $\alpha$  αλλά και του  $b$ , το οποίο μπορούμε να το δικαιολογήσουμε εξαιτίας της αύξησης του "άλματος". Τελικά, προτιμήσαμε να κρατήσουμε  $\gamma_1 = 1$  και  $\gamma_2 = 1$ .

Σχετικά με την σύγκριση των δύο μεθόδων, παράλληλης και μικτής, μπορούμε να ισχυριστούμε ότι υπάρχει παρόμοια συμπεριφορά. Ιδιαίτερο ενδιαφέρον, όπως θα δούμε και στη συνέχεια, έχει η επίδραση του θορύβου σε αυτές τις δύο μεθόδους.

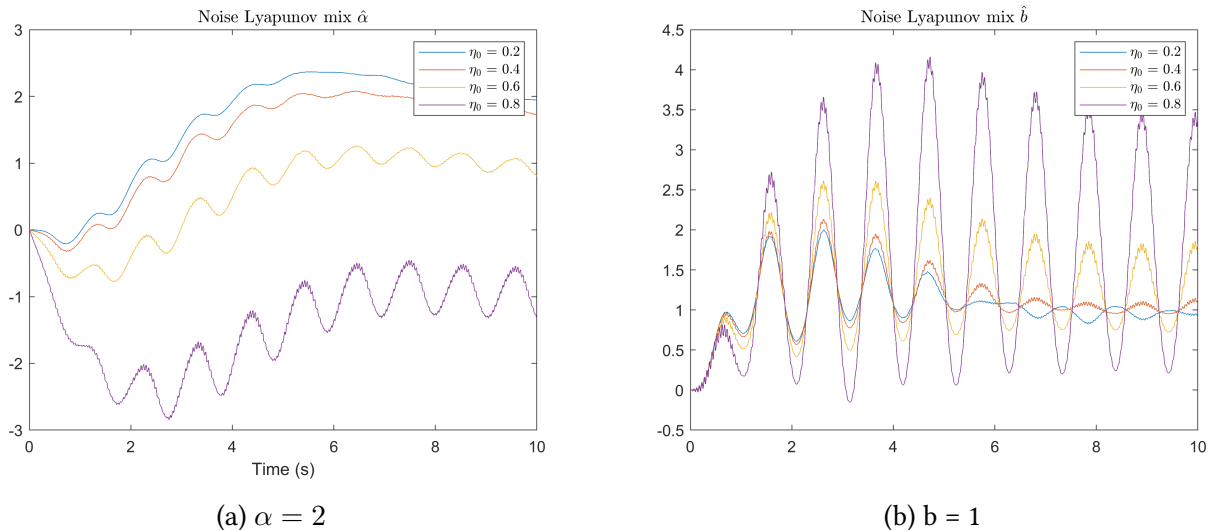
Για να μελετήσουμε την επίδραση του  $\theta_m$ , θα κρατήσουμε σταθερούς τους  $\gamma$  συντελεστές ( $\gamma = 1$ ).



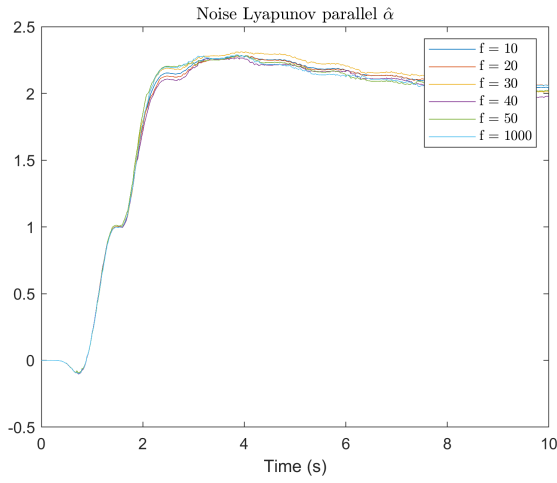
Εικόνα 6: Παραμετρική ανάλυση των εκτιμήσεων ως προς  $\theta_m$ , Lyapunov μικτή μέθοδος

Παρατηρώντας τα παραπάνω μπορούμε να διακρίνουμε ότι η αύξηση του  $\theta_m$  επιταχύνει την σταθεροποίηση της εκτίμησης. Θα συνεχίσουμε την ανάλυση μας για  $\theta_m = 1$ .

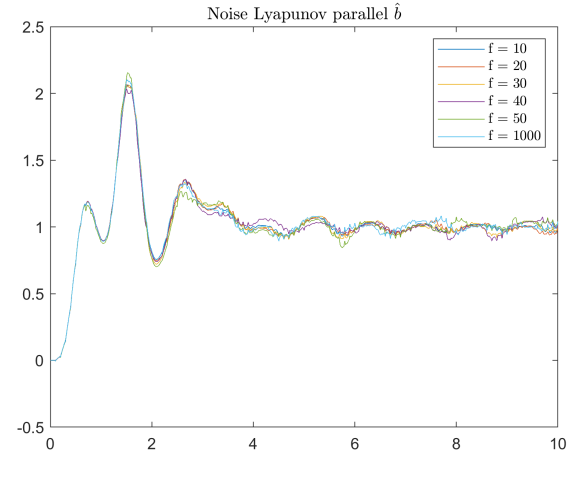
Σχετικά με την προσθήκη του θορύβου,  $u = \eta_0 \sin(2\pi ft)$ , στην έξοδο των μετρήσεων  $x$ , με  $\gamma_1 = \gamma_2 = 1$  και για την μικτή μέθοδο επιπλέον με  $\theta_m = 1$ , έχουμε τα ακόλουθα διαγράμματα:



Εικόνα 7: Επίδραση του θορύβου ως προς το πλάτος, Lyapunov παράλληλη μέθοδος

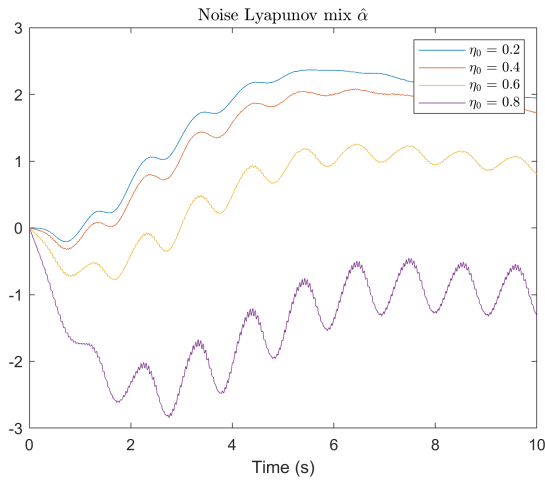


(a)  $\alpha = 2$

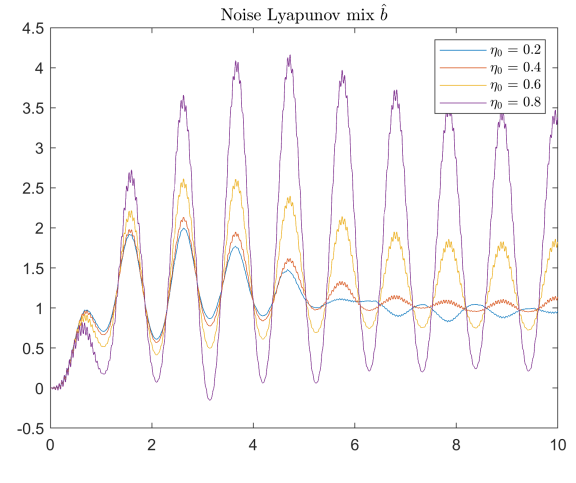


(b)  $b = 1$

Εικόνα 8: Επίδραση του θορύβου ως προς την συχνότητα, Lyapunov παράλληλη μέθοδος

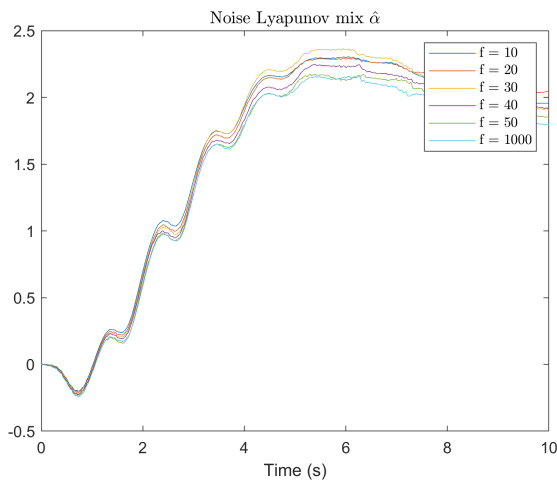


(a)  $\alpha = 2$

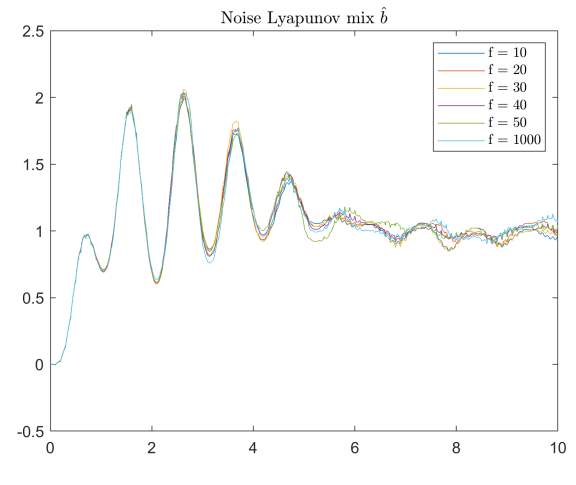


(b)  $b = 1$

Εικόνα 9: Επίδραση του θορύβου ως προς το πλάτος, Lyapunov μικτή μέθοδος



(a)  $\alpha = 2$

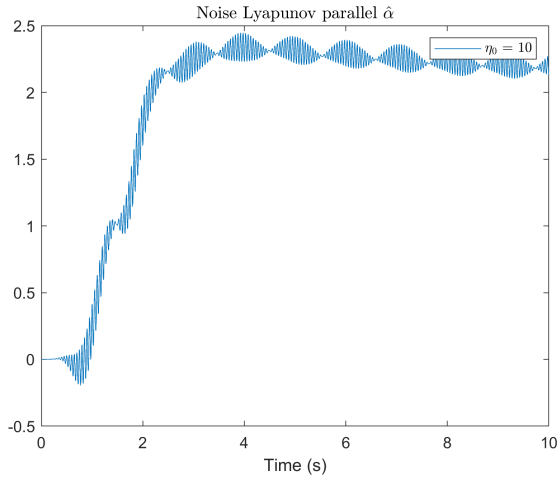


(b)  $b = 1$

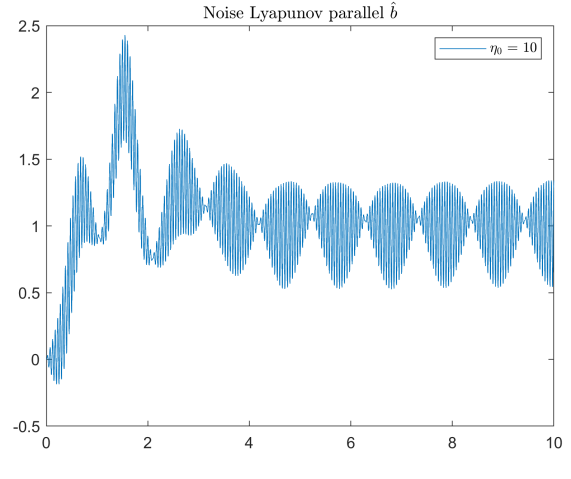
Εικόνα 10: Επίδραση του θορύβου ως προς την συχνότητα, Lyapunov μικτή μέθοδος

Είναι εμφανές ότι η επίδραση του θορύβου συναρτίζεται του πλάτους, επηρεάζει σε σημαντικό βαθμό την μικτή μέθοδο. Για να το κάνουμε ακόμα πιο εμφανές, ας δούμε το αποτέλεσμα του θορύβου για μια

αρκετά μεγάλη τιμή πλάτους  $\eta_0 = 10$ :

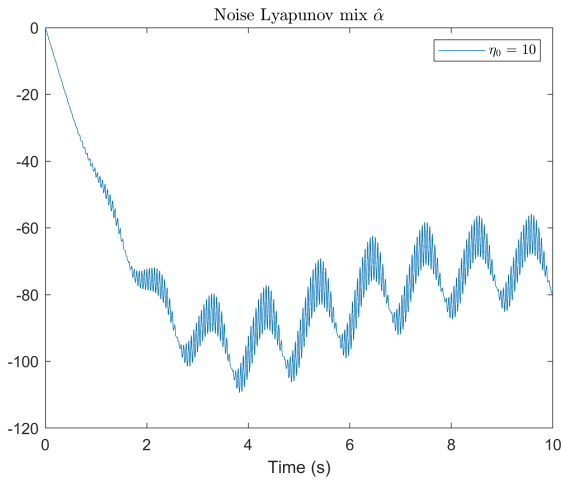


(a)  $\alpha = 2$

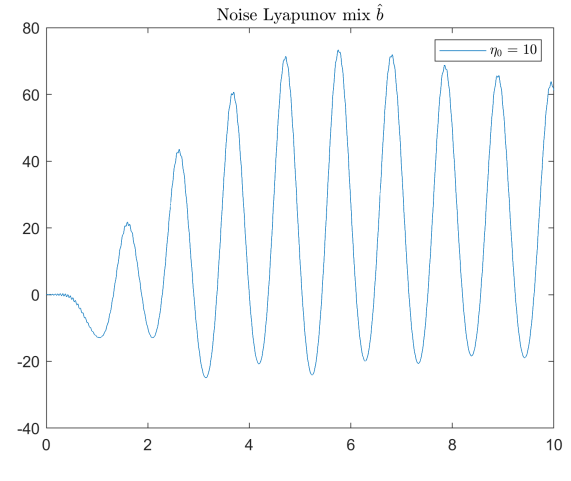


(b)  $b = 1$

Εικόνα 11: Επίδραση του θορύβου ως προς το πλάτος, Lyapunov παράλληλη μέθοδος



(a)  $\alpha = 2$



(b)  $b = 1$

Εικόνα 12: Επίδραση του θορύβου ως προς το πλάτος, Lyapunov μικτή μέθοδος

Βλέπουμε ότι πλέον η μικτή μέθοδος έχει πολύ μεγάλη απόκλιση από τον στόχο της εκτίμησης της πραγματικής τιμής. Αυτή λοιπόν η απόκλιση οφείλεται στην επίδραση που έχει η έξοδος στο σύστημα αναγνώρισης της μικτής μεθόδου. Πιο συγκεκριμένα:

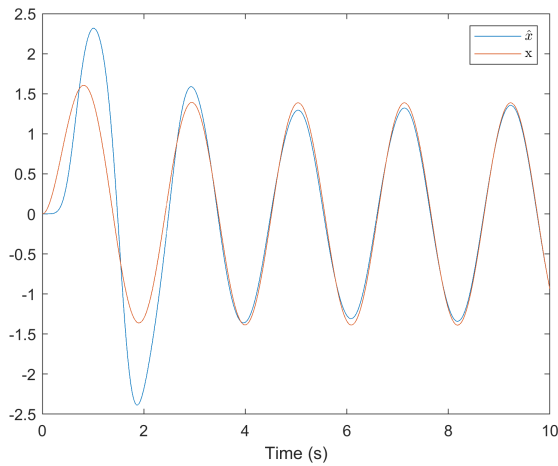
$$\dot{\theta}_1 = -\gamma_1 e \hat{x} \xrightarrow{e=x-\hat{x}} \dot{\theta}_1 = -\gamma_1 x \hat{x} + \gamma_1 \hat{x}^2 \quad (\Pi) \quad (9)$$

$$\dot{\theta}_1 = -\gamma_1 e x \xrightarrow{e=x-\hat{x}} \dot{\theta}_1 = \underbrace{-\gamma_1 x^2}_{\text{}} + \gamma_1 x \hat{x} \quad (M) \quad (10)$$

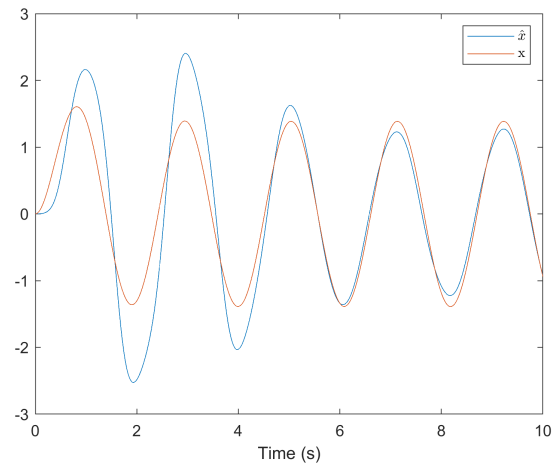
Βλέποντας τις σχέσεις (9) και (10), παρατηρούμε ότι η βασική διαφορά μεταξύ των δύο μεθόδων είναι σε ποίο μέγεθος εμφανίζεται ο τετραγωνικός όρος. Στην (Π) μέθοδο, έχουμε τετράγωνο στην εκτίμηση, ενώ στην (Μ) έχουμε τετράγωνο στην έξοδο. Οπότε η προσθήκη θορύβου στην έξοδο, αναμένουμε να επηρεάσει σε πολύ μεγαλύτερο βαθμό την (Μ) μέθοδο σε σχέση με την (Π).

Σχετικά με την μεταβολή της **συχνότητας του θορύβου**, παρατηρούμε ότι δεν επηρεάζεται σε σημαντικό βαθμό η πορεία της εκτίμησης.

Τελικά η εκτίμηση της εξόδου χωρίς θόρυβο με τιμές  $\gamma_1 = \gamma_2 = 1$  (Π) και επιπλέον  $\theta_m = 1$  για την (Μ) είναι:



(a) Εκτίμηση εξόδου, Lyapunov μέθοδος παράλληλη



(b) Εκτίμηση εξόδου, Lyapunov μέθοδος μικτή

Εικόνα 13

## Matlab

### simulation.m

```

1 %% LYAPUNOV PARALLEL
2
3 gammaRange = [1 10:10:20];
4
5 [xHat,aHat,bHat,legendInfo] = ...
    gammaAnalysis(@(x,u,t,gamma,thetaM) lyapunovParallel(x,u,t,gamma,thetaM), ...
6    gammaRange,x,u,t);
7
8 % plot
9 figure,plot(t,aHat),legend(legendInfo,'interpreter','latex')
10 title('Lyapunov parallel $\hat{\alpha}$','interpreter','latex')
11 xlabel('Time (s)')
12 print('lyap_parallel_a','-dpng','-r300')
13 figure,plot(t,bHat),legend(legendInfo,'interpreter','latex')
14 title('Lyapunov parallel $\hat{b}$','interpreter','latex')
15 xlabel('Time (s)')
16 print('lyap_parallel_b','-dpng','-r300')
17
18 % estimate output
19 figure,plot(t,xHat(:,1),t,x(t))
20 legend('$\hat{x}$','x','interpreter','latex')
21 xlabel('Time (s)')
22 print('lyap_parallel_x','-dpng','-r300')
23
24 %% LYAPUNOV MIX
25
26 [xHat,aHat,bHat,legendInfo] = ...
    gammaAnalysis(@(x,u,t,gamma,thetaM) lyapunovMix(x,u,t,gamma,thetaM), ...
27    gammaRange,x,u,t);
28
29 % plot
30 figure,plot(t,aHat),legend(legendInfo,'interpreter','latex')

```

```

31 title('Lyapunov mix  $\hat{\alpha}$ ','interpreter','latex')
32 xlabel('Time (s)')
33 print('lyap_mix_a','-dpng','-r300')
34 figure,plot(t,bHat),legend(legendInfo,'interpreter','latex')
35 title('Lyapunov mix  $\hat{b}$ ','interpreter','latex')
36 xlabel('Time (s)')
37 print('lyap_mix_b','-dpng','-r300')
38
39 % thetaM analysis
40 thetamRange = [1 2:2:10];
41 [xHat,aHat,bHat,legendInfo] = thetamAnalysis(thetamRange,x,u,t);
42
43 % plot
44 figure,plot(t,aHat),legend(legendInfo,'interpreter','latex')
45 title('Lyapunov mix  $\hat{\alpha}$ ','interpreter','latex')
46 xlabel('Time (s)')
47 print('lyap_mix_a_thetam','-dpng','-r300')
48 figure,plot(t,bHat),legend(legendInfo,'interpreter','latex')
49 title('Lyapunov mix  $\hat{b}$ ','interpreter','latex')
50 xlabel('Time (s)')
51 print('lyap_mix_b_thetam','-dpng','-r300')
52
53 % estimate output
54 figure,plot(t,xHat(:,1),t,x(t))
55 legend('$\hat{x}$','x','interpreter','latex')
56 xlabel('Time (s)')
57 print('lyap_mix_x','-dpng','-r300')
58
59 %% AMPLITUDE NOISE
60
61 amplitudeRange = 0.2:0.2:0.8;
62 % LYAPUNOV PARALLEL NOISE
63 [xHat,aHat,bHat,legendInfo] = ...
    amplitudeNoiseAnalysis(@(x,u,t,gamma,thetaM)lyapunovParallel(x,u,t,gamma,thetaM)...
64     ,amplitudeRange,x,u,t);
65
66 % plot
67 figure,plot(t,aHat),legend(legendInfo,'interpreter','latex')
68 title('Noise Lyapunov parallel  $\hat{\alpha}$ ','interpreter','latex')
69 xlabel('Time (s)')
70 print('lyap_parallel_a_noise_ampl','-dpng','-r300')
71 figure,plot(t,bHat),legend(legendInfo,'interpreter','latex')
72 title('Noise Lyapunov parallel  $\hat{b}$ ','interpreter','latex')
73 print('lyap_parallel_b_noise_ampl','-dpng','-r300')
74
75 % LYAPUNOV MIX NOISE
76 [xHat,aHat,bHat,legendInfo] = ...
    amplitudeNoiseAnalysis(@(x,u,t,gamma,thetaM)lyapunovMix(x,u,t,gamma,thetaM)...
77     ,amplitudeRange,x,u,t);
78
79 % plot
80 figure,plot(t,aHat),legend(legendInfo,'interpreter','latex')
81 title('Noise Lyapunov mix  $\hat{\alpha}$ ','interpreter','latex')
82 xlabel('Time (s)')
83 print('lyap_mix_a_noise_ampl','-dpng','-r300')
84 figure,plot(t,bHat),legend(legendInfo,'interpreter','latex')
85 title('Noise Lyapunov mix  $\hat{b}$ ','interpreter','latex')
86 print('lyap_mix_b_noise_ampl','-dpng','-r300')
87 xlabel('Time (s)')
88
89 %% FREQUENCY NOISE
90
91 freqRange = [10:10:50 1000];

```

```

92 % LYAPUNOV PARALLEL NOISE
93 [xHat,aHat,bHat,legendInfo] = ...
    freqNoiseAnalysis(@(x,u,t,gamma,thetaM) lyapunovParallel(x,u,t,gamma,thetaM) ...
    ,freqRange,x,u,t);
94
95
96 % plot
97 figure,plot(t,aHat),legend(legendInfo,'interpreter','latex')
98 title('Noise Lyapunov parallel  $\hat{\alpha}$ ','interpreter','latex')
99 xlabel('Time (s)')
100 print('lyap_parallel_a_noise_freq','-dpng','-r300')
101 figure,plot(t,bHat),legend(legendInfo,'interpreter','latex')
102 title('Noise Lyapunov parallel  $\hat{b}$ ','interpreter','latex')
103 print('lyap_parallel_b_noise_freq','-dpng','-r300')
104
105 % LYAPUNOV MIX NOISE
106 [xHat,aHat,bHat,legendInfo] = ...
    freqNoiseAnalysis(@(x,u,t,gamma,thetaM) lyapunovMix(x,u,t,gamma,thetaM) ...
    ,freqRange,x,u,t);
107
108
109 % plot
110 figure,plot(t,aHat),legend(legendInfo,'interpreter','latex')
111 title('Noise Lyapunov mix  $\hat{\alpha}$ ','interpreter','latex')
112 xlabel('Time (s)')
113 print('lyap_mix_a_noise_freq','-dpng','-r300')
114 figure,plot(t,bHat),legend(legendInfo,'interpreter','latex')
115 title('Noise Lyapunov mix  $\hat{b}$ ','interpreter','latex')
116 print('lyap_mix_b_noise_freq','-dpng','-r300')
117 xlabel('Time (s)')

```

## lyapunovParallel.m

```

1 function [xHat,aHat,bHat] = lyapunovParallel(x,u,t,gamma,thetaM)
2 [t,y] = ode45(@(t,y) diffSystem(x,u,t,y,gamma), t, [0 0 0]);
3 xHat = y(:,1);
4 aHat = y(:,2);
5 bHat = y(:,3);
6 end
7
8 function dy = diffSystem(x,u,t,y,gamma)
9 xHat=y(1); theta(1) = y(2); theta(2) = y(3);
10
11 dxHat = -theta(1)*xHat + theta(2)*u(t);
12 error = x(t) - xHat;
13 dtheta(1) = -gamma(1)*error*xHat;
14 dtheta(2) = gamma(2)*error*u(t);
15
16 dy(1) = dxHat; dy(2) = dtheta(1); dy(3) = dtheta(2);
17 dy = dy';
18 end

```

## lyapunovMix.m

```

1 function [xHat,aHat,bHat] = lyapunovMix(x,u,t,gamma,thetaM)
2 [t,y] = ode45(@(t,y) diffSystem(x,u,t,y,gamma,thetaM), t, [0 0 0]);
3 xHat = y(:,1);
4 aHat = y(:,2);
5 bHat = y(:,3);
6 end
7
8 function dy = diffSystem(x,u,t,y,gamma,thetaM)

```

```

9  xHat = y(1); theta(1) = y(2); theta(2) = y(3);
10
11  error = x(t) - xHat;
12  dxHat = -theta(1)*x(t) + theta(2)*u(t) + thetaM*error;
13  dtheta(1) = -gamma(1)*error*x(t);
14  dtheta(2) = gamma(2)*error*u(t);
15
16  dy(1) = dxHat; dy(2) = dtheta(1); dy(3) = dtheta(2);
17  dy = dy';
18  end

```

## Θέμα 3

Θεωρείστε το σύστημα δεύτερης τάξης

$$\dot{x} = \begin{bmatrix} \alpha_{11} & \alpha_{12} \\ \alpha_{21} & \alpha_{22} \end{bmatrix} x + \begin{bmatrix} b_1 \\ b_2 \end{bmatrix} u, \quad x(0) = \begin{bmatrix} 0 \\ 0 \end{bmatrix} \quad (1)$$

Όπου  $x$  είναι οι καταστάσεις,  $u = 10\sin(2t) + 5\sin(7.5t)$  είναι η είσοδος και  $\alpha_{11} = -0.25, \alpha_{12} = 3, \alpha_{21} = -5, \alpha_{22} = -1, b_1 = 1, b_2 = 2.2$  σταθερές άγνωστες παράμετροι.

Σχεδιάστε έναν εκτιμητή πραγματικού χρόνου παράλληλης δομής, των άγνωστων παραμέτρων στη μέθοδο σχεδίασης Lyapunov και προσομοιώστε τη λειτουργία του. Δημιουργείστε τις γραφικές παραστάσεις των  $x, \hat{x}$  καθώς και τις εκτιμήσεις για τις άγνωστες παραμέτρους.

## Μαθηματική ανάλυση

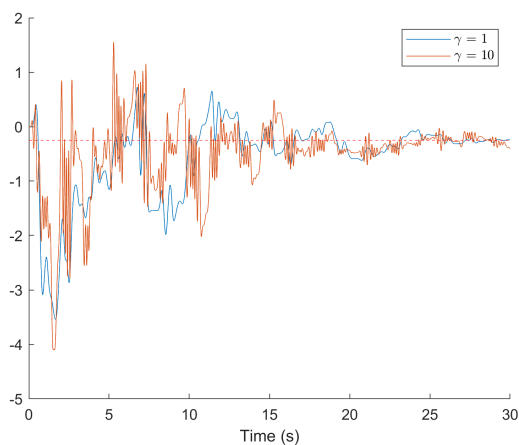
Μέχρι στιγμής μελετούσαμε συστήματα μονής εισόδου. Γενικεύοντας την μαθηματική ανάλυση που κάναμε στο Θέμα 2, για την παράλληλη δομή σε σύστημα πολλών εισόδων έχουμε:

$$\dot{\hat{A}} = \gamma_1 \hat{x} e^T \quad (2)$$

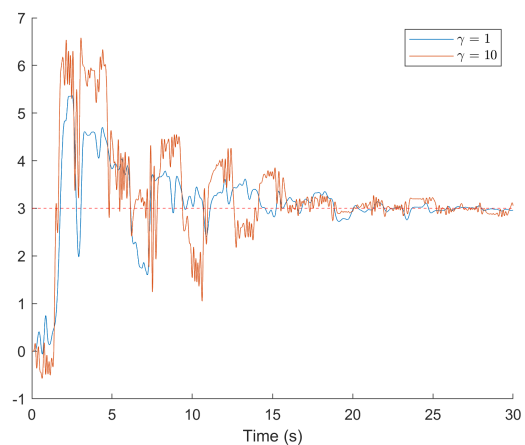
$$\dot{\hat{B}} = \gamma_2 \hat{u} e^T \quad (3)$$

όπου  $e = x - \hat{x}$ .

## Διαγράμματα



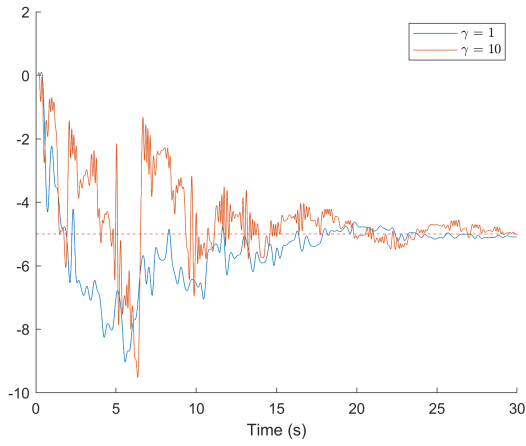
(a)  $\alpha_{11} = -0.25$



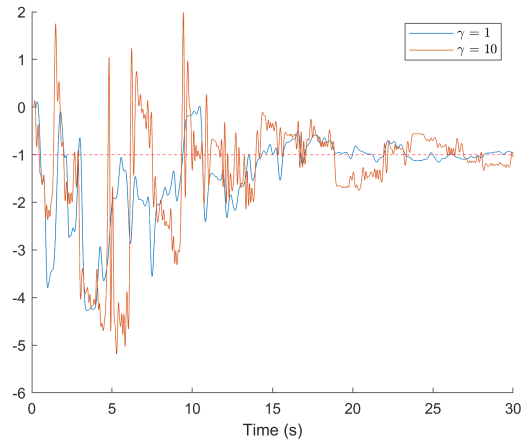
(b)  $\alpha_{12} = 3$

Εικόνα 14



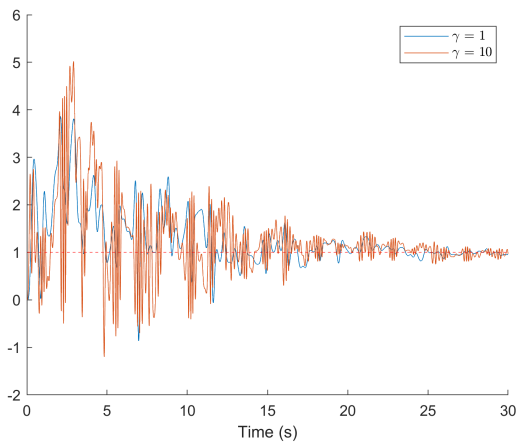


(a)  $\alpha_{21} = -5$

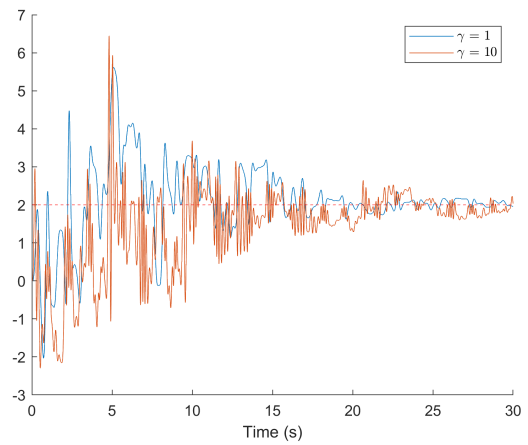


(b)  $\alpha_{22} = -1$

Εικόνα 15



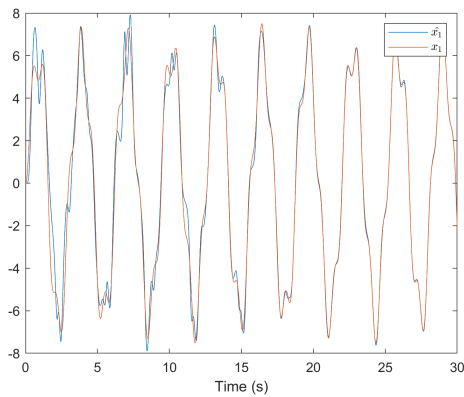
(a)  $b_1 = 1$



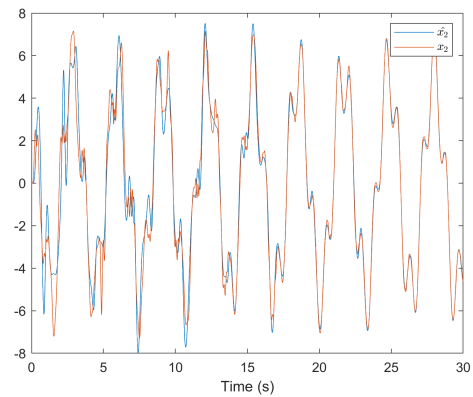
(b)  $b_2 = 2.2$

Εικόνα 16

Με παρόμοιο τρόπο με τα προηγούμενα θέματα, δοκιμάσαμε διαφορετικές τιμές του  $\gamma$ . Μπορούμε να διαπιστώσουμε, ότι η αύξηση του  $\gamma$  στην συγκεκριμένη περίπτωση δεν βελτίωσε την ταχύτητα σύγκλισης προς την πραγματική τιμή αλλά δημιούργησε έντονες ταλαντώσεις. Αυτό συμβαίνει επειδή το "άλμα" είναι αρκετά μεγάλο με αποτέλεσμα να ξεφεύγουμε από την επιθυμητή τιμή της εύρεσης του ελαχίστου σφάλματος.



(a)  $x(1)$



(b)  $x(2)$

Εικόνα 17: Εκτίμηση των συνιστωσών της εξόδου

# Matlab

## simulation.m

```
1 %% MIMO
2
3 % the parameters I want to estimate
4 a = [-0.25 3; -5 -1];
5 b = [1;2];
6
7 % input
8 u = @(t) 10*sin(2*t) + 5*sin(7.5*t);
9
10 % time
11 t = 0:0.001:30;
12
13 % learning rate
14 %gamma = [1 1];
15 gammaRange = [1 10];
16
17 % compare to the previous implementations, now we compute everything
18 % (output, estimations) within one ode function in lyapunovParallelMIMO()
19 [x,xHat,aHat,bHat,legendInfo] = gammaAnalysisMIMO(gammaRange,u,t,a,b);
20
21 % plot
22 a = a';
23 for j=1:4
24     figure
25     hold on
26     yline(a(j), 'r--', 'HandleVisibility','off');
27     for i=1:numel(gammaRange)
28         plot(t,aHat(:,j,i))
29     end
30     legend(legendInfo, 'interpreter','latex')
31     xlabel('Time (s)')
32     print(['lyap_parallel_a_mimo_' num2str(j)], '-dpng', '-r300')
33 end
34
35 for j=1:2
36     figure
37     hold on
38     yline(b(j), 'r--', 'HandleVisibility','off');
39     for i=1:numel(gammaRange)
40         plot(t,bHat(:,j,i))
41     end
42     legend(legendInfo, 'interpreter','latex')
43     xlabel('Time (s)')
44     print(['lyap_parallel_b_mimo_' num2str(j)], '-dpng', '-r300')
45 end
46
47 figure, plot(t,xHat(:,1,1),t,x(:,1))
48 legend('$\hat{x}_1$', '$x_1$', 'interpreter','latex')
49 xlabel('Time (s)')
50 print('mimo_x1', '-dpng', '-r300')
51
52 figure, plot(t,xHat(:,2,1),t,x(:,2))
53 legend('$\hat{x}_2$', '$x_2$', 'interpreter','latex')
54 xlabel('Time (s)')
55 print('mimo_x2', '-dpng', '-r300')
56
57 %% FUNCTIONS
```

```

58
59 function [xHat,aHat,bHat,legendInfo] = gammaAnalysis(func,gammaRange,x,u,t)
60     xHat = zeros(numel(t),numel(gammaRange));
61     aHat = zeros(numel(t),numel(gammaRange));
62     bHat = zeros(numel(t),numel(gammaRange));
63     counter = 1;
64     for i=gammaRange
65         % learning rate
66         gamma = [i i];
67         thetaM = 1;
68         [xHatPerGamma,aHatPerGamma,bHatPerGamma] = func(x,u,t,gamma,thetaM);
69
70         xHat(:,counter) = xHatPerGamma;
71         aHat(:,counter) = aHatPerGamma;
72         bHat(:,counter) = bHatPerGamma;
73
74         legendInfo{counter} = ['$\gamma$ = ' num2str(i)];
75         counter = counter + 1;
76     end
77 end
78
79 function [xHat,aHat,bHat,legendInfo] = thetamAnalysis(thetamRange,x,u,t)
80     xHat = zeros(numel(t),numel(thetamRange));
81     aHat = zeros(numel(t),numel(thetamRange));
82     bHat = zeros(numel(t),numel(thetamRange));
83     counter = 1;
84     for i=thetamRange
85         % learning rate
86         gamma = [1 1];
87         [xHatPerGamma,aHatPerGamma,bHatPerGamma] = lyapunovMix(x,u,t,gamma,i);
88
89         xHat(:,counter) = xHatPerGamma;
90         aHat(:,counter) = aHatPerGamma;
91         bHat(:,counter) = bHatPerGamma;
92
93         legendInfo{counter} = ['$\hat{\theta}_m$ = ' num2str(i)];
94         counter = counter + 1;
95     end
96 end
97
98 function [xHat,aHat,bHat,legendInfo] = ...
    amplitudeNoiseAnalysis(func,amplitudeRange,x,u,t)
99     xHat = zeros(numel(t),numel(amplitudeRange));
100     aHat = zeros(numel(t),numel(amplitudeRange));
101     bHat = zeros(numel(t),numel(amplitudeRange));
102     counter = 1;
103     for i=amplitudeRange
104         amplitude = i;
105         f = 20;
106         noise = @(t) amplitude*sin(2*pi*f*t);
107         x = @(t) x(t) + noise(t);
108
109         gamma = [1 1];
110         thetaM = 1;
111         [xHatPerAmpl,aHatPerAmpl,bHatPerAmpl] = func(x,u,t,gamma,thetaM);
112
113         xHat(:,counter) = xHatPerAmpl;
114         aHat(:,counter) = aHatPerAmpl;
115         bHat(:,counter) = bHatPerAmpl;
116
117         legendInfo{counter} = ['$\eta_0$ = ' num2str(i)];
118         counter = counter + 1;
119     end

```

```

120 end
121
122 function [xHat,aHat,bHat,legendInfo] = ...
    freqNoiseAnalysis(func,amplitudeRange,x,u,t)
123     xHat = zeros(numel(t),numel(amplitudeRange));
124     aHat = zeros(numel(t),numel(amplitudeRange));
125     bHat = zeros(numel(t),numel(amplitudeRange));
126     counter = 1;
127     for i=amplitudeRange
128         amplitude = 0.15;
129         f = i;
130         noise = @(t) amplitude*sin(2*pi*f*t);
131         x = @(t) x(t) + noise(t);
132
133         gamma = [1 1];
134         thetaM = 1;
135         [xHatPerFreq,aHatPerFreq,bHatPerFreq] = func(x,u,t,gamma,thetaM);
136
137         xHat(:,counter) = xHatPerFreq;
138         aHat(:,counter) = aHatPerFreq;
139         bHat(:,counter) = bHatPerFreq;
140
141         legendInfo{counter} = ['f = ' num2str(i)];
142         counter = counter + 1;
143     end
144 end
145
146 function [x,xHat,aHat,bHat,legendInfo] = gammaAnalysisMIMO(gammaRange,u,t,a,b)
147     xHat = zeros(numel(t),2,numel(gammaRange));
148     aHat = zeros(numel(t),4,numel(gammaRange));
149     bHat = zeros(numel(t),2,numel(gammaRange));
150     counter = 1;
151     for i=gammaRange
152         % learning rate
153         gamma = [i i];
154         [x,xHatPerGamma,aHatPerGamma,bHatPerGamma] = ...
            lyapunovParallelMIMO(u,t,a,b,gamma);
155
156         xHat(:,:,counter) = xHatPerGamma;
157         aHat(:,:,counter) = aHatPerGamma;
158         bHat(:,:,counter) = bHatPerGamma;
159
160         legendInfo{counter} = ['$\gamma$ = ' num2str(i)];
161         counter = counter + 1;
162     end
163 end

```

## lyapunovParallelMIMO.m

```

1 function [x,xHat,aHat,bHat] = lyapunovParallelMIMO(u,t,a,b,gamma)
2 [t,y] = ode45(@(t,y)diffSystem(t,y,u,a,b,gamma), t, zeros(10,1));
3 x = [y(:,1) y(:,4)];
4 xHat = [y(:,3) y(:,4)];
5 aHat = [y(:,5) y(:,6) y(:,7) y(:,8)];
6 bHat = [y(:,9) y(:,10)];
7 end
8
9 function dy = diffSystem(t,y,u,a,b,gamma)
10 x = [y(1);y(2)];
11 xHat = [y(3);y(4)];
12 aHat = [y(5) y(6);y(7) y(8)];

```

```

13 bHat = [y(9);y(10)];
14
15 dx = a*x + b*u(t);
16 e = [x(1) - xHat(1); x(2) - xHat(2)];
17 dxHat = aHat*xHat + bHat*u(t);
18 daHat = gamma(1) * (xHat*e');
19 dbHat = gamma(2)*u(t)*e';
20
21 dy = [dx(1); dx(2);dxHat(1); dxHat(2);...
22       daHat(1);daHat(2);daHat(3);daHat(4);...
23       dbHat(1);dbHat(2)];
24 end

```

## Matlab

Όλα τα αρχεία Matlab που παραθέσαμε στην αναφορά μπορούν να βρεθούν συγκεντρωμένα [εδώ](#).